

# BE Commande Robuste

Emilien Reuillard et Antonin Renoir



## 1. System Modeling

### Question 1.1: Flight dynamics

Nous allons discuter du modèle linéaire nominal sans incertitude de l'espace d'état de la dynamique de tangage du missile. En effet le modèle du missile donné dans l'énoncé est purement linéaire car il ne comporte pas de composantes non-linéaires comme des termes au carré ou alors des fonctions non-linéaires comme des cosinus ou des sinus (fonctions souvent présentes dans les systèmes non linéaires lorsque des angles interviennent) Plusieurs étapes sont nécessaires pour obtenir le modèle linéaire à partir du modèle non-linéaire. La première étape est la formulation des équations de la dynamique de tangage du missile : Les équations de la dynamique de tangage du missile sont des équations différentielles non linéaires qui décrivent l'évolution de l'angle de tangage, de la vitesse angulaire et d'autres variables liées au mouvement du missile. Ces équations peuvent être obtenues à partir des lois de la physique et de la dynamique du missile, en utilisant des modèles mathématiques appropriés. Nous les avons vu dans le cours et il n'est pas intéressant de les rappeler dans ce rapport. La deuxième étape est la linéarisation de ces équations. Pour cela il est judicieux de savoir quels termes linéariser ainsi que le point d'équilibre autour duquel il faut linéariser. En effet la linéarisation d'une fonction non-linéaire se fait toujours au voisinage d'un point d'équilibre. La linéarisation la plus connue dans ce cas concerne les fonctions trigonométriques  $\cos(\alpha)$  et  $\sin(\alpha)$  qui se linéarisent respectivement en 1 et  $\alpha$  lorsque  $\alpha$  est proche (voisinage) de zéro (point d'équilibre). Pour le cas du missile cela est un peu plus compliqué.

Premièrement il faut calculer les points d'équilibre : en général dans un système non linéaire les points d'équilibres se calculent de la manière suivante. Soit un système non linéaire représenté sous forme de représentation d'état non linéaire (les matrices sont des fonctions avec en paramètre le vecteur d'état) alors un point d'équilibre (valeur particulière du vecteur d'état) est un point pour lequel la dérivée du vecteur d'état est nulle. Soit par exemple ( $[x_1, x_2]$  vecteur d'état)  $\dot{x}_1 = f_1(x_1, x_2) = 0$  et  $\dot{x}_2 = f_2(x_1, x_2) = 0$

Ensuite il faut traiter de **l'enveloppe de vol**. Effectivement d'après le texte de Reichert, 1992 [1], il faut que l'angle d'attaque soit compris entre  $-20^\circ$  et  $20^\circ$  de manière à assurer la stabilité robuste du

système bouclé et assurer la poursuite d'un signal d'entrée de type échelon. Cela nous permet donc de savoir ou linéariser les équations fournis dans le cours. Alpha autour de ces deux extremums. Ensuite pour linéariser nous utilisons la décomposition en série de Taylor qui permet de décomposer les composantes non linéaires suivnt plusieurs degrés. Ainsi le premier terme peut être gardé pour appliquer la linéarisation.

Sous Matlab /Simulmink :

- La fonction `linmod()` : cette fonction permet de générer automatiquement une représentation linéaire d'un modèle Simulink.
- La commande `linearize()` : cette commande permet de linéariser un modèle Simulink ou une fonction Matlab en utilisant la méthode de la réponse fréquentielle linéaire. Nous utiliserons cette fonction par la suite.
- La commande `ss` peut aussi servir à linéariser en créant le modèle d'état.

## Question 1.2: Model construction & analysis

Pour obtenir  $G_{am}$  nous avons changé la matrice C dans la représentation d'état de l'Actuator pour ne visualiser que  $x_3$ . Ainsi la representation d'état de  $G_{am}$  est :

$G_{am} =$

```
A =
      x1      x2      x3      x4
x1    -412.3      1    -412.3      0
x2    -300.4      0    -131.4      0
x3      0      0      0      1
x4      0      0    -2.25e+04    -210
```

```
B =
      u1
x1      0
x2      0
x3      0
x4    -2.25e+04
```

```
C =
      x1      x2      x3      x4
y1    -146.3      0    -115.1      0
y2      0      1      0      0
```

```
D =
      u1
y1      0
y2      0
```

Continuous-time state-space model.

Nous avons créé le schéma sous simulink : Voir **Airframe.slx**

Les formes zpk du système de  $u_{cmd}$  à  $y_1$ ,  $y_2$  respectivement sont (par exemple  $G_{am\_nz}$ ,  $G_{am\_q}$ ) sont :

```
>> zpk(G_am_lin)

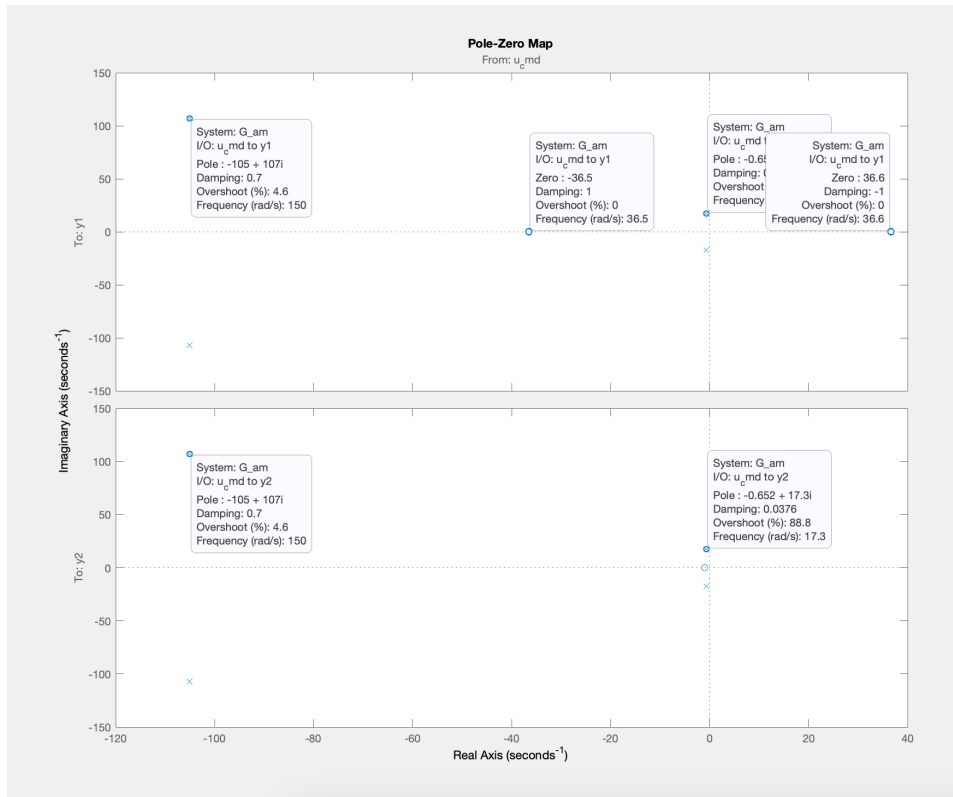
ans =

From input "u_cmd" to output...
      2.5887e06 (s-110.6) (s-1.206)
y1:  -----
      (s+411.6) (s+0.7299) (s^2 + 210s + 2.25e04)

      2.9564e06 (s-530.4)
y2:  -----
      (s+411.6) (s+0.7299) (s^2 + 210s + 2.25e04)
```

Continuous-time zero/pole/gain model.

Voici les pôles et les zéros d'entrée / sortie avec la fonction isomap :

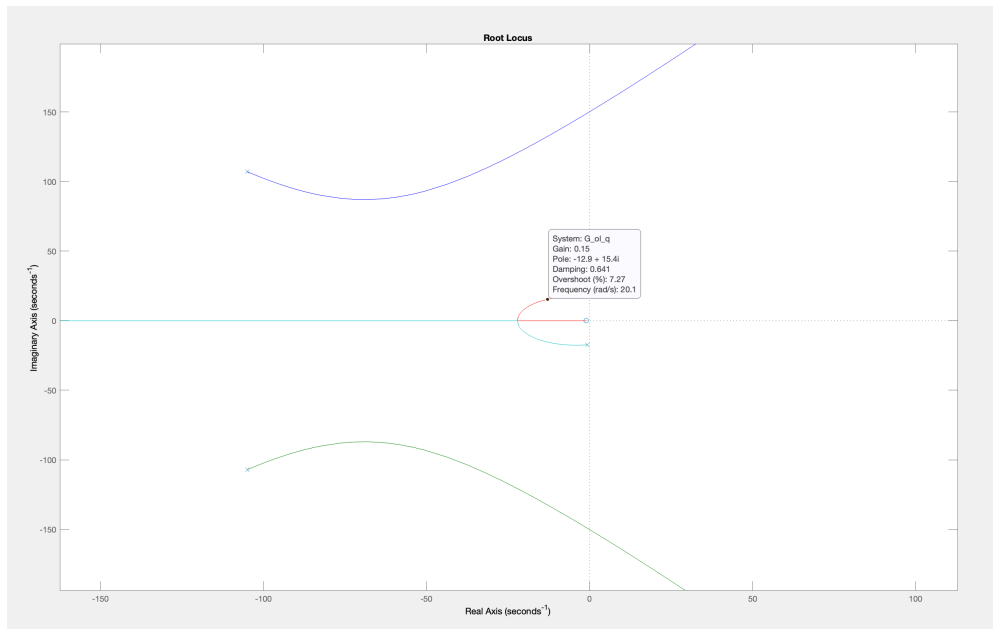


Pour la sortie y1 nous avons 4 pôles et 2 zéros. Alors que pour y2 comme sortie nous avons 4 pôles et 1 zéro. Les composantes instables sont celles avec des parties réels positives.

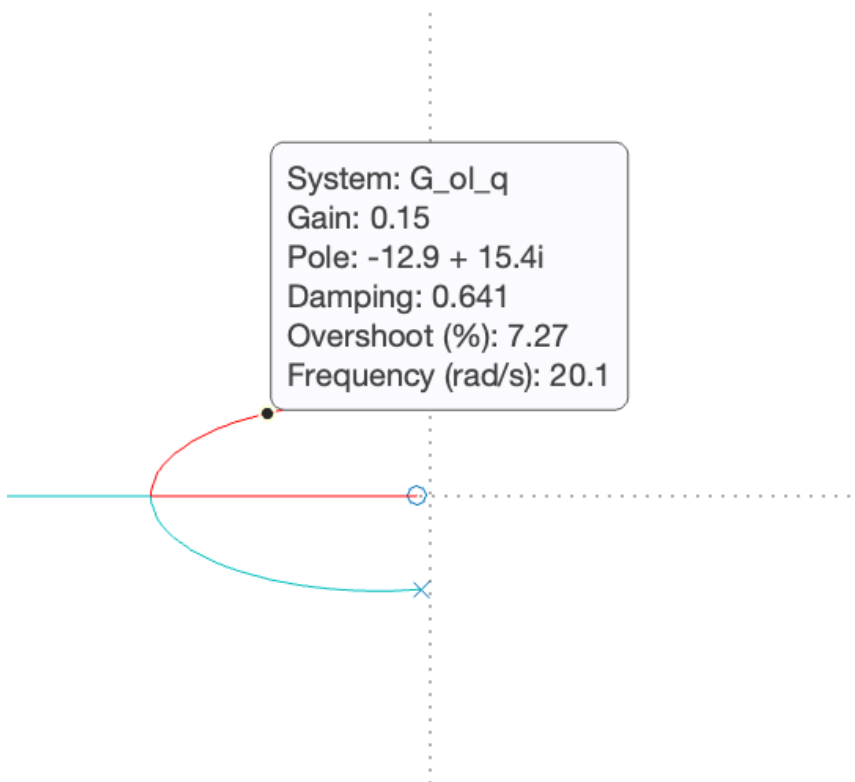
## 2. Loop shaping

### Question 2.1: Damping gain design

En se basant sur le figure numéro 3 on cherche le gain  $C_q$  tel que l'amortissement soit optimisé (0.7). Pour cela on utilise rlocus qui trace la position des pôles du système en faisant varier le gain  $c_q$  de 0 à l'infini. On obtient les figures ci-après.



En zoomant on voit que on peut placer le curser pour voir quel gain correspond à l'ammortissement de 0.7 :



(Cependant avec la précision du graphique nous n'avons pas réussi à nous placer au proche de 0.7). Donc nous avons estimé le gain souhaité égale à -0.16.

Avec rlocus la courbe du haut nous fourni aussi une valeur de  $C_q$  pour un amortissement de 0.7 mais ce gain est compris en 0 et 0.041. Ainsi il nous a paru plus judicieux de choisir les courbes proches de l'axe des abscisses pour rlocus.

Ensuite nous pouvons comparer les résultats obtenus avec la figure 3 reproduite :

- $\text{zpk}(G_{\text{am}}(1,1))$ :

```
>> zpk(G_am(1,1))

ans =

From input "u_cmd" to output "y1":
-2.6397e05 (s-36.64) (s+36.52)
-----
(s^2 + 1.305s + 300.4) (s^2 + 210s + 2.25e04)

Continuous-time zero/pole/gain model.
```

- `zpk(G_cl_q_unsc)` :

```
>> zpk(G_cl_q_unsc)

ans =

From input "u_unsc" to output "y1":
-2.6397e05 (s-36.64) (s+36.52)
-----
(s^2 + 27.91s + 413.5) (s^2 + 183.4s + 1.754e04)

Continuous-time zero/pole/gain model.
```

Les zeros sont triviaux à trouver et les pôles peuvent être donnés avec la fonction *pole*.

```
>> pole(G_am(1,1))

ans =

1.0e+02 *

-1.0500 + 1.0712i
-1.0500 - 1.0712i
-0.0065 + 0.1732i
-0.0065 - 0.1732i

>> pole(G_cl_q_unsc)

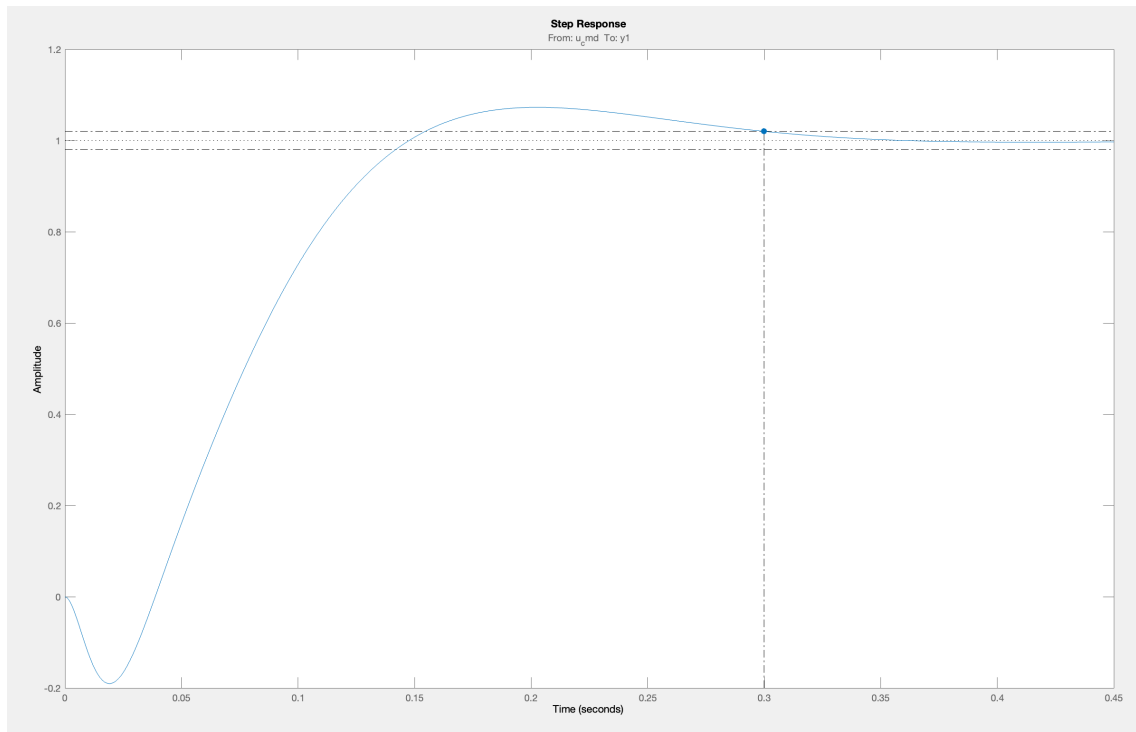
ans =

-91.6963 +95.5712i
-91.6963 -95.5712i
-13.9559 +14.7888i
-13.9559 -14.7888i
```

## Question 2.2: Scaling gain design

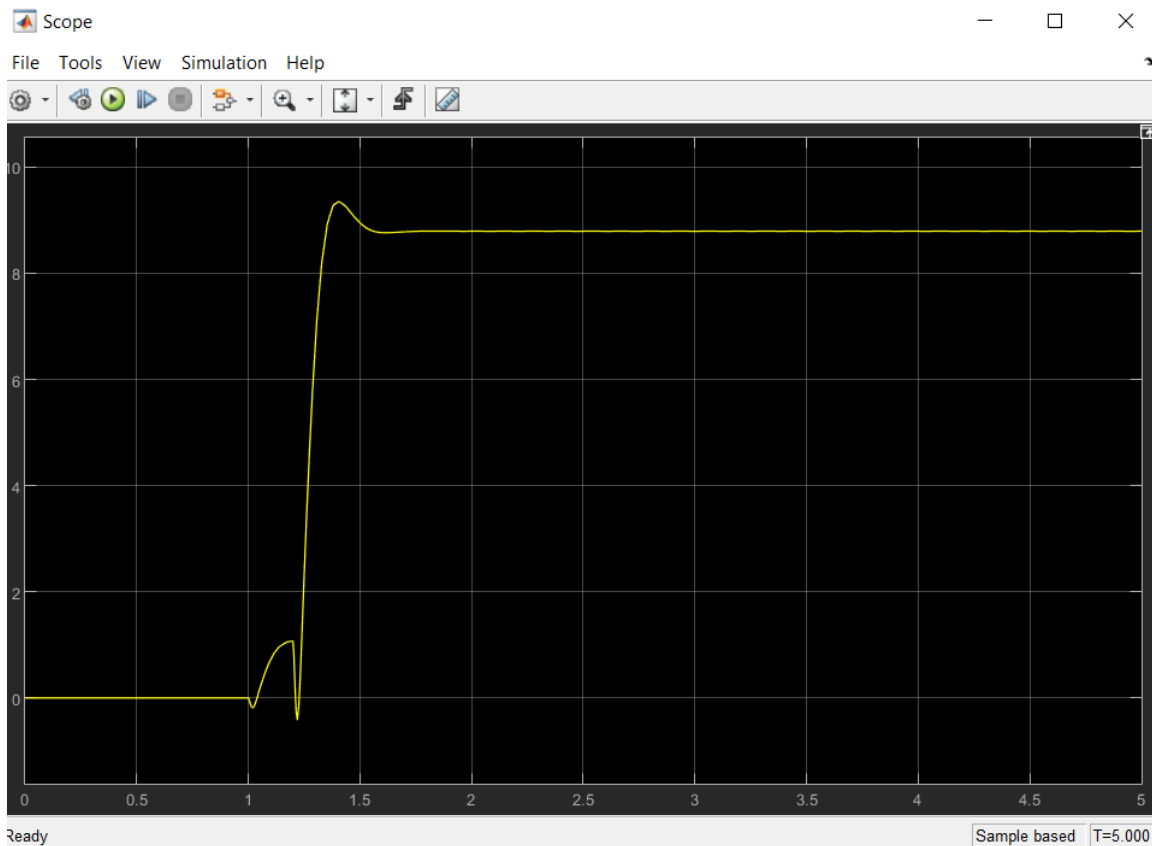
On récupère l'inverse du gain `C_sc` avec la fonction `dcgain` sur `G_cl_q_unsc`. On le nomme `C_sc_inv` que l'on inverse pour avoir `C_sc`.

On implémente le gain `C_q` et `C_sc` dans Simulink. Et on récupère  $G$  le système linéarisé qui prend en compte les deux gains précédents. On va alors vérifier la convergence de  $G$  :



On constate bien une convergence vers 1 en réponse au step. De plus le missile effectue une baisse dans la trajectoire du à la présence de zéros. Le temps de réponse est affiché et est 0.3.

On a ajouté une perturbation sur  $y_2$  avec un step à 1.2 secondes. Voilà le résultat :

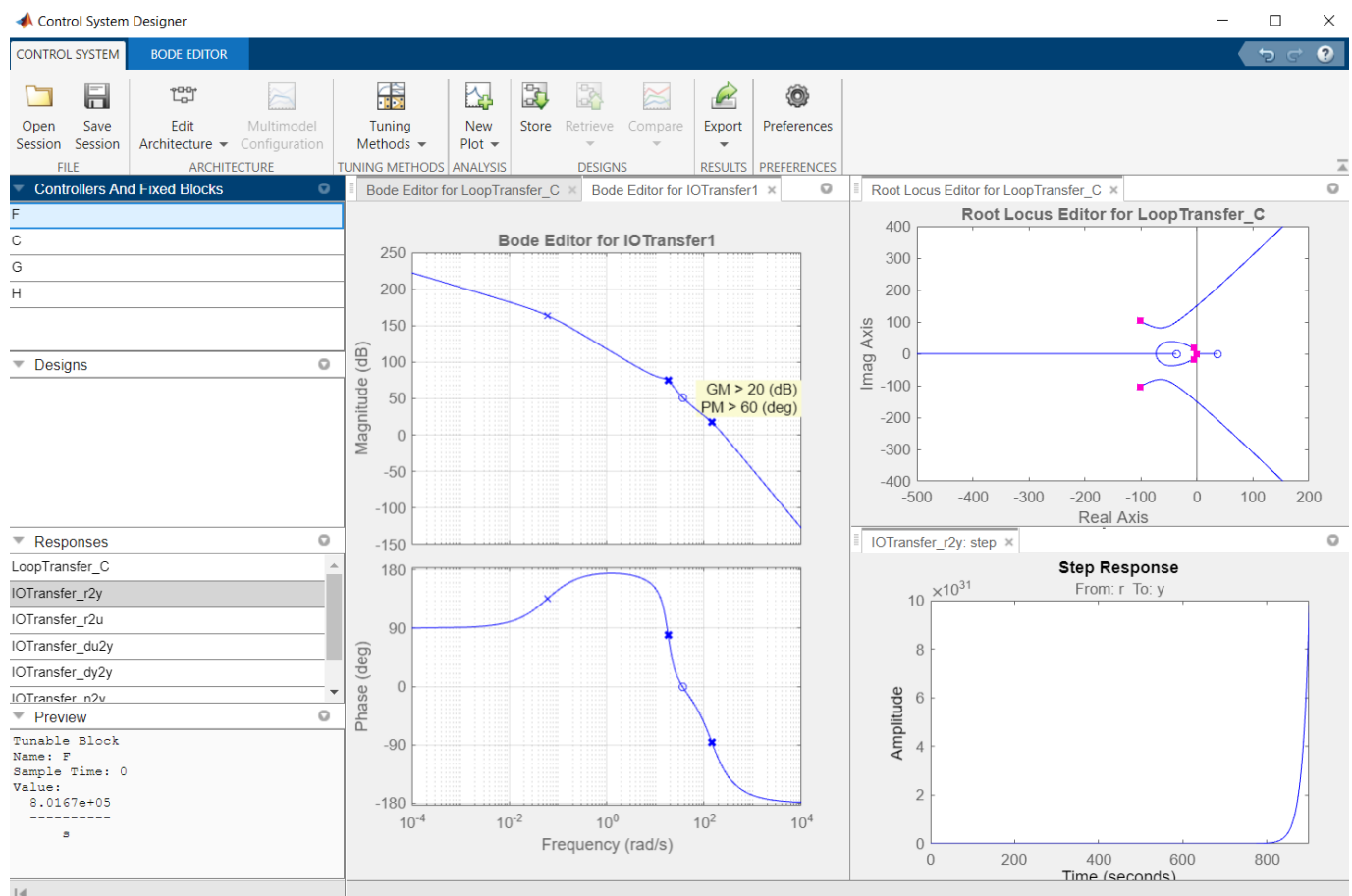


Ce que l'on peut voir c'est que la perturbation n'est pas rejetée par le système. En effet on voit bien la réponse de la figure  $ste(G)$  mais quand la perturbation survient la valeur finale atteint 9. Ce n'est pas intéressant et la question suivante va nous permettre de compenser cette perturbation.

## Question 2.3: Integral gain design

Nous cherchons  $C_i$ . Pour cela nous utilisons sisotool qui va nous permettre de trouver les gains adéquats en changeant la marge de phase de manière manuelle.

Selon notre modèle,  $C_i$  est compris dans  $F$ . Nous considérons une valeur de  $C_i = 1$  pour trouver le reste. Nous allons donc modifier  $F$  pour modifier la valeur voulue de  $C_i$ . Mais nous sommes obligé de modifier aussi la variable  $C$  de sisotools de façon à obtenir une Marge de Phase de  $60^\circ$ . Nous modifions donc  $C$  puis  $F$ . Voici le résultat :



On peut voir que là où la courbe de gain coupe 0 on a une marge de phase de 60 degrés sur la courbe de phase. Cela convient au cahier des charges.

Avec cette méthode nous avons trouvé une valeur de  $F$  qui nous convient puis nous avons eu  $C_i$  en divisant  $F$  par  $C_{sc}$ . Ainsi nous avons  $F = 8.0167e+05$  et donc  $C_i = 3,942e+7$ .

## 3. Mixed sensitivity design

### A. Weighting filters

#### Question 3A.1: Weighting filter discussion

Dans le contexte de la commande de système par commande robuste, un filtre de pondération est un outil de conception qui permet de spécifier des poids pour différentes fréquences du signal de référence et du signal de perturbation. Ces poids sont ensuite utilisés pour pondérer les performances du système dans ces différentes fréquences lors de la conception du régulateur.

Par exemple, dans un système de contrôle de vitesse de moteur, les basses fréquences peuvent être plus importantes que les hautes fréquences, car les variations de vitesse à basse fréquence peuvent affecter la stabilité du système.

Autre exemple, si le système est soumis à des perturbations à haute fréquence, le filtre de pondération peut être utilisé pour réduire la sensibilité du système à ces perturbations.

$W_1$  est pour la sortie et  $W_2$  est pour le control. On sait que :

- en basse fréquence il n'y a pas de bruit.
- en hautes fréquences il n'y a pas de perturbations.

De plus avec ce qui est décrit slide 12 du cours on a ainsi  $W_1$  doit être un filtre passe haut et  $W_2$  doit être un filtre passe bas.

### **Question 3A.2: Weighting filter computation**

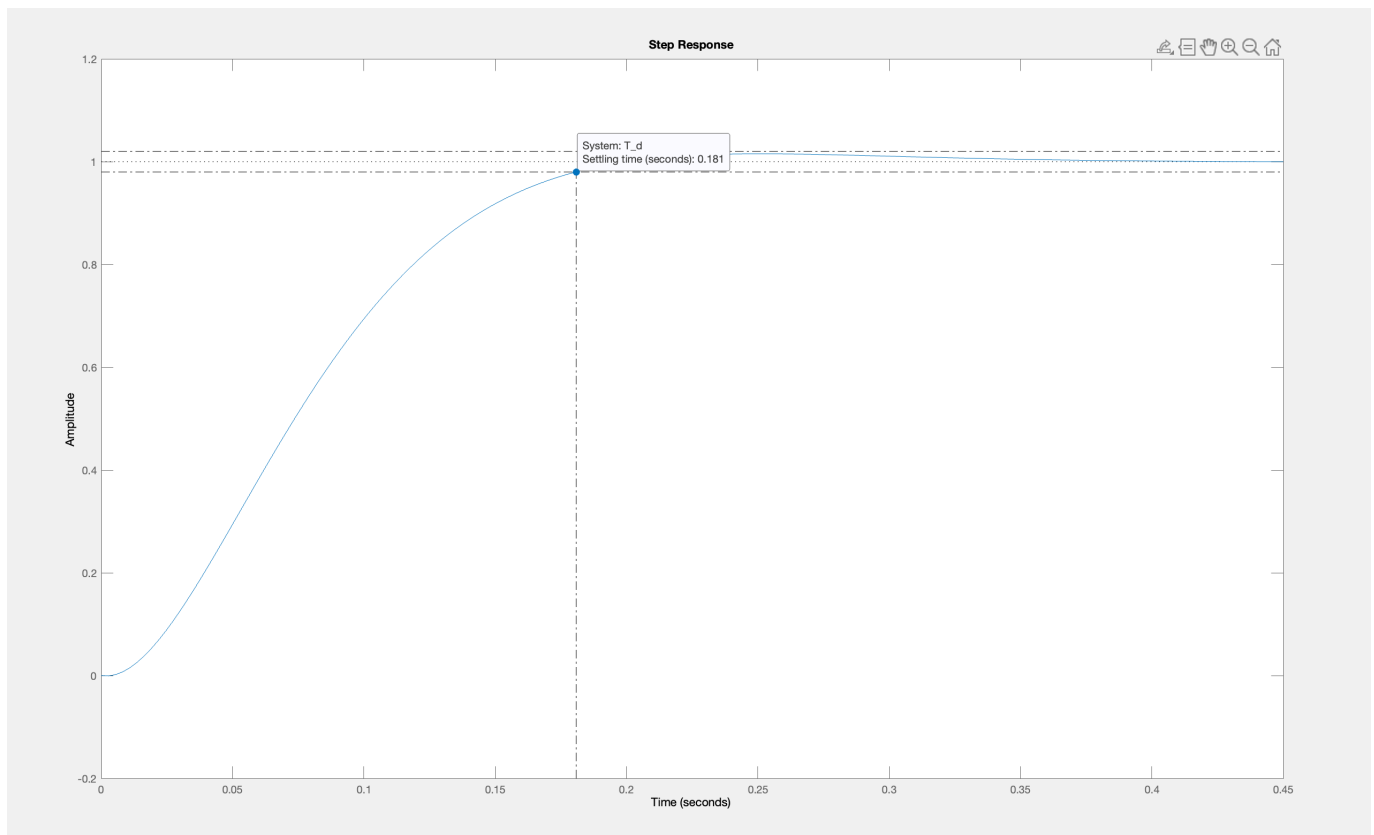
Pour déterminer les deux filtres on utilise la fonction `makeweight` qui nous permet de modéliser un filtre grâce à ses paramètres. Grâce aux informations données dans l'énoncé on peut déterminer les paramètres pour chaque filtre et les créer ensuite.

On décide ensuite déterminer  $M_1$ ,  $W_1$ ,  $A_1$ . On utilise les équations du sujet qui correspondent à  $w_1$  et  $w_2$  puis grâce à la forme de `zpk(w_1)` on trouve par comparaison les 3 valeurs recherchées. On fait de même avec  $M_2$  grâce à `zpk(w_2)`.

## **B. Reference model**

### **Question 3B.1: Reference model computation**





Voici la réponse à un échelon du filtre modélisé.

Par soucis de non compréhension de la signification de  $z_m$  nous l'avons utilisé dans les variables à modifier pour obtenir le filtre correspondant eu cahier des charges.

Ainsi nous avons procédé par tâtonnement pour trouver un par un les valeurs recherché.

La filtre à donc un temps de réponse à 5% de 0.18 secondes et un dépassement maximal ne dépassant pas 5% de la valeur finale comme indiqué dans le cahier des charges.

```
>> zpk(T_d)
```

```
ans =
```

$$\frac{-0.882 (s-500)}{(s^2 + 33.6s + 441)}$$

```
Continuous-time zero/pole/gain model.
```

Voici la forme final du filtre.

## C. Feedback controller design (hinfosyn)

### Question 3C.1: Controller design

Nous allons construire un controller de rejet/suivi de perturbation.

On met en forme P et Twz suivant le sujet. Pour So on applique la formule donnée dans le sujet. De même pour les autres composantes de cette question.

## Sources

[1] : R. T. Reichert, “Dynamic scheduling of modern-robust-control autopilot designs for missiles”, IEEE Control Systems, vol. 12, no. 5, pp. 35–42, 1992.